

## تولید و کنترل کیفی پرتوداروی $[^{18}\text{F}]$ ۲-فلوئورو - ۲-داکسی گلوکز [ $^{18}\text{F}$ -2FDG] در ایران

- دکتر امیررضا جلیلیان - دکتر حسین آفریده - مهندس براتعلی اکبری -  
مهندس محمد شفیعی - مهندس بهروز شیرازی - مهندس محمد میرزایی -  
مهندس خسرو آردانه

بخش سیکلوترون مرکز تحقیقات کشاورزی پزشکی هسته‌ای، سازمان انرژی اتمی ایران

### چکیده

پرمصرف‌ترین پرتوداروی سال ۱۹۸۹ در ایالات متحده، ۲-فلوروداکسی گلوکز بوده است که در ابتدای امر برای نگاره‌برداری تابش پوزیترون در تشخیص تومورهای حفره‌جمجمه و مصرف موضعی گلوکز سلول‌های عصبی بکار گرفته شد. با توجه به اهمیت این پرتودارو تولید آزمایشی و کنترل کیفی آن از شهریور ماه ۱۳۷۶ در بخش سیکلوترون مرکز تحقیقات کشاورزی و پزشکی هسته‌ای کرج آغاز و قابلیت تجویز آن به بیماران محرز گردید. ملکول  $^{18}\text{F}$ -2FDG طی دو مرحله واکنش شیمیایی از ماده اولیه ۲-O - تری‌فلورومتان سولفونیل - ۱، ۳، ۴، ۶ - تترا - O - استیل -  $\beta$  - D - مانوز (۱) و فلوئور-۱۸ حاصل از بمباران آب غنی شده  $^{18}\text{H}_2\text{O}$  (> ۹۵٪) (۲) توسط پروتون با انرژی ۱۸ MeV حاصل می‌شود (۳) و طی هیدرولیز و خالص‌سازی، پرتوداروی  $^{18}\text{F}$ -2FDG خالص را بدست می‌دهد. خلوص رادیو شیمیایی آن بالای ۹۵٪ و اکتیویته اختصاصی آن حداقل  $2100 \text{ Ci/mmol}$  می‌باشد که پس از ایزوتونیک شدن و کنترل کیفی آماده تزریق به بیماران می‌گردد.

### مقدمه

می‌کنند. به دلیل بالا بودن میزان آنزیم هگزوکیناز در سلول‌های مغزی، ملکول مذکور از ناحیه اکسیژن ۶ فسفوریله می‌شود و به سبب قطبی شدن نمی‌تواند از سلول خارج شود. از طرفی به دلیل وجود فلوئور بجای OH- در ناحیه ۲، واکنش‌های بعدی انجام نمی‌شود و پس از نابودی  $^{18}\text{F}$  رهش پوزیترون صورت می‌گیرد (۵). پوزیترون پس از برخورد با پادذره خود یعنی الکترون به دو فوتون گامای پرنانرژی (Kev ۵۱۱x۲) با زاویه  $180^\circ$  نسبت به یکدیگر تبدیل می‌شود. که توسط

فلوئور-۱۸ که عنصر ملکول  $^{18}\text{F}$ -2FDG می‌باشد یک عنصر پوزیترون دهنده است که در مرکز تحقیقات کشاورزی پزشکی هسته‌ای کرج از بمباران آب غنی شده ( $^{18}\text{O}$ - $\text{H}_2\text{O}$ -> ۹۵٪) توسط پروتون‌های پرنانرژی حاصل می‌شود و پس از جدا شدن  $\text{F}^-$  از آب گران قیمت غنی شده طی واکنش‌های شیمیایی به  $^{18}\text{F}$ -2FDG تبدیل می‌شود (۴). ملکول اخیر با خاصیت انتخابی بیشتری به سلول‌های عصبی جذب می‌شود چرا که این سلول‌ها اختصاصاً از گلوکز به عنوان منبع انرژی استفاده

یک مدار الکترونیکی که فقط پرتوهای همزمان را ثبت می‌کند تصحیح می‌گردد (۶).

دوربین‌های PET مجهز به صدها قطعه آشکارساز سوسوزن در اتصال به سیستم الکترونیک خاص، تصاویر دقیقی از محل استحاله تا دقت  $4/4 \text{ cm}^2$  می‌دهد. هرچه سلول فعال‌تر باشد مصرف گلوکز بیشتر بوده و تصویر شدت بیشتری دارد. تومورها که دارای جذب بالایی از گلوکز هستند و بسیاری از بیماری‌های عصبی مثل شیذوفرنی، صرع، جنون و ... که همگی توأم با پرکاری یا کم‌کاری نواحی مختلف و در نتیجه مصرف غیر طبیعی گلوکز هستند و همچنین نواحی کم جذب  $^{18}\text{F}$ FDG در سگته‌های مغزی و یا جنون پیری (Alzheimer's disease) توسط این رادیو دارو قابل تشخیص می‌باشند. همچنین این رادیو دارو کاربردهای با ارزشی در کاردیولوژی و انکولوژی دارد.

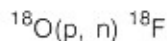
## روش کار

نیمه عمر فلونور-۱۸ حدود ۱۱۰ دقیقه است بنابراین واکنش شیمیایی روی آن باید بسیار سریع و کارآمد باشد.

تهیه  $^{18}\text{F}$ -2FDG: بخش شیمیایی تولید پرتو دارو دارای دو مرحله اصلی می‌باشد که یکی بخش تهیه یون فلونورید و دیگری بخش آلی آن است.

الف) تهیه  $[^{18}\text{F}]$  فلونورید و تبدیل به فرم واکنش دهنده (۳): مقدار  $1/7$  میلی‌لیتر آب مقطر غنی شده حاوی اکسیژن -۱۸ با خلوص بالای ۹۵٪ در یک هدف از جنس نقره به مدت ۱۵ الی ۲۰ دقیقه تحت تابش پروتون‌هایی با انرژی ۱۸ میلیون الکترون ولت توسط سیکلوترون (سیکلون - ۳۰) موجود در مرکز تحقیقات کشاورزی و پزشکی هسته‌ای کرج

(NRCAM) قرار می‌گیرد. واکنش هسته‌ای رخ داده چنین است:



سپس محلول حاصل از واکنش فوق وارد سیستم جمع‌آوری (Recovery) واقع در Hot Cell می‌گردد که در آن ابتدا از روی یک رزین آنیونی عبور کرده و  $^{18}\text{F}$  به فرم یون فلورید (۷)، روی رزین متصل می‌گردد (۸) و باقیمانده آب غنی شده جمع‌آوری می‌گردد. با شستشوی رزین با محلول کربنات پتاسیم یون فلورید به فرم  $\text{K}^{18}\text{F}$  خارج می‌شود که حجمی حدود ۱ میلی‌لیتر داشته و وارد ظرف واکنشی می‌گردد که قبلاً در آن یک ماده فعال‌کننده یون فلونورید موسوم به کریتوفیکس ۲۲۲ (نام شیمیایی -۲۴.۲۱.۱۶.۱۳.۴- هگزااکسا-۱ و ۱۰-دی‌آزابی سیکلو (۸.۸.۸) هگزاکوزان) به مقدار ۲۵ میلی‌گرم به همراه حلال آزوتروپ خارج می‌شود و یون فلونورید در کنار کریتوفیکس به حالت فعال و خشک می‌رسد. عمل خشک شدن ۲ بار دیگر با افزودن مقادیر استونیتریل تکرار می‌شود. ملکول (۱) به صورت محلول در استونیتریل به اکتیویته خشک افزوده می‌شود و در دمای ۹۸ درجه سانتی‌گراد به مدت ۱۰ دقیقه حرارت می‌بیند و واکنش اتصال فلونورید به (۱) انجام می‌گیرد و پس از خشک شدن استونیتریل توسط حرارت، افزایش اتر معمولی به آن صورت می‌گیرد تا ماده لیئوفیل (۲) را حل کند و عبور آن از ستون‌های کوچک Silica Sep-Pak، یون‌های آزاد  $\text{K}^+$  و  $\text{CO}_3^{2-}$  و  $^{18}\text{F}$  را خارج کرده و ملکول (۲) به فرم خالص وارد ظرف واکنش دیگر می‌گردد و به آن اسید کلریدریک ۱N افزوده می‌شود و حرارت می‌بیند تا بوسیله هیدرولیز، ملکول (۳) حاصل آید. سپس مخلوط هیدرولیز از

## تولید و کنترل کیفی پرنوداروی [ $^{18}\text{F}$ -2FDG]

است که این مقدار ۰/۰۰۰۲ مقدار سمی گزارش شده در موش است (جدول ۱ و ۲) (۹).

ب) تعیین خلوص رادیو شیمیایی: از یک نمونه تازه تولید شده  $^{18}\text{F}$ FDG یک لکه به قطر ۱ میلی متر روی کاغذ کروماتوگرافی (روی لایه نازک سیلیکاژل با پایه پلیمر به ابعاد ۲/۵ در ۱۲ سانتی متر) توسط یک لوله باریک شیشه‌ای قرار دادیم و سپس در حلال آب - استونیتریل (۵۰٪ - ۹۵٪ حجمی) در یک تانک کروماتوگرافی به ابعاد ۱۰×۷×۱۵ سانتی متر گسترش داده شد. پس از گسترش حلال تا ۳ ربع کروماتوگرام، آنرا خارج کرده در جریان هوا خشک کرده، روی یک دستگاه خودکار بررسی کننده جز به جز کروماتوگرام (Chromatogram auto scanner) مرتبط به یک محاسبه گر هسته‌ای چند کاناله (Multi Channel Analyzer) که در فواصل ۱۲ ثانیه‌ای ۸ میلی متر کاغذ را اسکن کرده به صورت شمارش در ثانیه ثبت می‌کند قرار داده شد. نهایتاً در یک نمودار دو بعدی درصد نسبی شمارش در برابر مسافت کروماتوگرام رسم گردید (نمودار ۱).

ج) خلوص رادیو نوکلیدی: برای این روش از طیف‌سنجی گاما استفاده شد. حجمی معادل ۰/۱ میلی لیتر نمونه تولیدی مقابل دتکتور ژرمانیوم بسیار خالص قرار گرفت که فتوپیک انرژی در ۰/۵۱۱ و ۱/۰۲ Mev (میلیون الکترون ولت) دیده می‌شد که مؤید وجود عنصر پوزیترون دهنده بود. برای اطمینان از وجود فلونور ۱۸- اندازه‌گیری شمارش در ثانیه در زمان‌های ۳۰، ۶۰، ۹۰، ۱۲۰ و ۱۵۰ دقیقه انجام گرفت و پس از رسم نمودار حاصل، زمانی که شمارش به نصف مقدار اولیه رسید روی منحنی ظاهر شد که معادل ۱۱۱/۵ دقیقه بوده و مؤید وجود  $^{18}\text{F}$  می‌باشد (۱۰).

ستون‌های آلومین، رزین و نهایتاً ستون C18 Sep-Pak عبور میکند تا به ترتیب کلیه آلودگی‌های اولیه یونی و فرم تتراستیل (۱) و (۲) از آن خارج گردد و به صورت خالص در آب خارج گردد. محلول اخیر توسط بافر فسفات به حدود pH=6 می‌رسد و از صافی میکروبی ۰/۲۲ میکرون عبور کرده و آماده تجویز می‌گردد (۸).

## کنترل کیفیت

$^{18}\text{F}$ -2FDG پرنوداروی تزریقی، آپروژن، استریل و ایزوتون با اکتیویته ویژه حدود ۵۰ تا ۲۵۰ میکروکوری است که آزمایش‌های کنترل کیفی زیر روی آن انجام می‌گیرد:

الف) تعیین خلوص شیمیایی: به منظور اثبات خلوص شیمیایی  $^{18}\text{F}$ -2FDG، تجسس جهت تشخیص برخی از مواد شرکت‌کننده در واکنش انجام می‌گیرد. مهم‌ترین ماده مزاحم کریپتوفیکس ۲۲۲ است که سمیت زیاد آن قبلاً گزارش شده است. جهت کنترل خلوص محصول نسبت به ماده اخیر، محلول‌های استاندارد ماده فوق با غلظت‌های مختلف (بر حسب میلی گرم در میلی لیتر) در متانول تهیه شدند و سپس روی صفحات کروماتوگرافی بر روی لایه نازک سیلیکا با پایه پلیمر توسط لوله‌های باریک شیشه‌ای نمونه‌گذاری شدند و در حلال متانول - هیدروکسید امونیوم (۱۰٪ - ۹۰٪) در تانک کروماتوگرافی گسترش یافتند. نهایتاً صفحه مذکور در تانک دیگری که از بخار ید اشباع شده بود قرار گرفته و جذب کامل ید روی این لکه‌ها مشاهده گشت. از آنجایی که حجم تزریقی  $^{18}\text{F}$ FDG ۲- به بیمار نیز یک میلی لیتر است، در صورت عدم مشاهده لکه کریپتوفیکس در تانک ید از نمونه تزریقی، مقدار کریپتوفیکس زیر دامنه ۱/۲۵ میلی گرم در میلی لیتر

$$A = 35 \text{ W/C}$$

بر اساس جدول ۱ در دو غلظت بیشینه و کمینه در صورت عدم مشاهده جذب ید در  $R_f = 0/27$  در سیستم حلال ۱ بترتیب ۵۰۰۰ برابر زیر مقدار خطرناک و ۱۴۵۰۰۰ برابر زیر غلظت خطرناک کریبتوفیکس خواهیم داشت (۹).

ب) کنترل رادیو شیمیایی: بر اساس فارماکوپه امریکا حداقل ۹۰٪ اکتیویته در محلول باید به فرم FDG باشد که با کنترل رادیو کروماتوگرام (نمودار ۱) شرایط فوق تأیید می‌گردد (۱۱).

ج) خلوص رادیو نوکلایدی: بایستی دو فتویک Mev ۵۱۱/۰ و ۱/۰۲ در طیف گاما در مجاورت ژرمانیوم فوق خالص مشاهده گردد، ضمن این که نیمه عمر بایستی حداقل ۱۰۵ و حداکثر ۱۱۵ دقیقه بدست آید.

د) کنترل pH: اسیدیته محلول تزریقی FDG باید در حدود ۵/۵ تا ۸/۵ باشد که با افزودن بتافر فسفات اسیدیته تنظیم گردید (۱۱).

### بحث

رادیو داروی FDG در حال حاضر با پاسخ مثبت کلیه آزمایش‌های کیفی، در حال تولید آزمایشی بسر می‌برد. نمودار ۳ نتایج بازده ۹ بار تولید رادیو دارو را در تاریخ‌های مختلف نشان می‌دهد. همانطور که از جدول ۳ مشخص است اکتیویته بخش‌های مختلف تولید و رادیو دارو تعیین شده است. اکتیویته محصول بین ۲۸ تا ۷۳ میلی کوری متفاوت است که میانگین آن در حدود ۵۴ میلی کوری می‌باشد. بازده شیمیایی تولید  $^{18}\text{F}$  FDG در مجموع دو مرحله ۶۰ درصد است بنابراین اکتیویته اختصاصی آن در حدود  $2160 \text{ Ci/mmole}$

د) کنترل pH: اسیدیته محلول حاصل از تولید حدود ۴/۵ می‌باشد که توسط شناساگر یونیورسال ساخت کمپانی Merck اندازه‌گیری شد. با ترکیب نسبت حجمی یک به یک محلول، با محلول بافر فسفات اسیدیته محلول به حدود ۶/۵ رسید که قابل قبول است.

### نتایج

بر اساس فارماکوپه ایالات متحده محلول تزریقی  $^{18}\text{F}$  FDG باید یک محلول استریل و غیر تبزا و حاوی حداقل ۱ کوری بر میلی مول ( $10^3 \times 27$  مگابکرل) اکتیویته اختصاصی و حداقل ۹۰ و حداکثر ۱۱۰ درصد اکتیویته به فرم  $^{18}\text{F}$ -FDG در محلول موجود باشد که می‌تواند حاوی یا فاقد ماده پایدارکننده باشد. بر حسب روی محصول باید حاوی مندرجات زیر باشد:

- ۱- زمان و تاریخ کالیبراسیون
- ۲- مقدار اکتیویته  $^{18}\text{F}$  بر حسب مگابکرل در میلی لیتر
- ۳- تاریخ انقضاء
- ۴- نوع و مقدار ماده افزودنی (در صورت وجود)
- ۵- علامت رادیو اکتیویته
- ۶- عبارت (عدم استفاده در صورت مشاهده رسوب یا کدورت) باید درج گردد.

کنترل کیفی باید نتایج زیر را بدست دهد:

الف) تعیین خلوص شیمیایی: عدم مشاهده هرگونه جذب پایدار ید در کروماتوگرام حاصل از نمونه تزریقی در دو سیستم مختلف کروماتوگرافی در  $R_f$  های داده شده در جدول ۲. به طور خلاصه فرمول زیر حد دوری از خطر (A) را در صورت عدم مشاهده لکه ید در غلظت C کریبتوفیکس بر حسب میلی گرم در میلی لیتر برای شخص W کیلوگرمی نشان می‌دهد:

## تشکر و قدردانی

گروه کارگردانی رادیوایزوتوپ و سیکلوترون زحمات زیادی در انجام بیمارانها متحمل شدند. موفقیت پروژه مرهون طراحی و ساخت دستگاه جستجوگر کروماتوگرام توسط آقایان مهندس علی اکبر جعفری خرمی و مهندس عبدالرحیم پرتوی می باشد. همچنین از زحمات مهندس رامین آقا جعفری در رفع نواقص تکنیکی کمال تشکر را داریم.

می باشد. ملکول مذکور بسیاری از موارد مجهول تشخیص کلینیکی بیماری های عصبی را پاسخگو است. بررسی های بیشتر روی بازده رادیو شیمیایی در حال انجام است.

حضور ناخالصی های مثل ۲-فلورو تتراستیل گلوکز (۲) و یا تتر-O-استیل ۲-تریفلات -D-β- مانوز (۱) بطور کامل مردود بوده و فرم اکتیو نیز بیش از ۹۰٪  $^{18}\text{F}$ FDG است که کاملاً خالص بوده قابل تجویز است.

جدول - ۱: رابطه بین غلظت کریبتوفیکس و پاسخ رنگی به بد در کروماتوگرافی روی لایه نازک.

غلظت کریبتوفیکس (mg/ml)	پاسخ رنگی به بخار بد
۰/۵	++++
۰/۲۵	+++
۰/۱۲۵	++
۰/۰۵	+
۰/۰۲۵	-
۰/۰۱۷	-

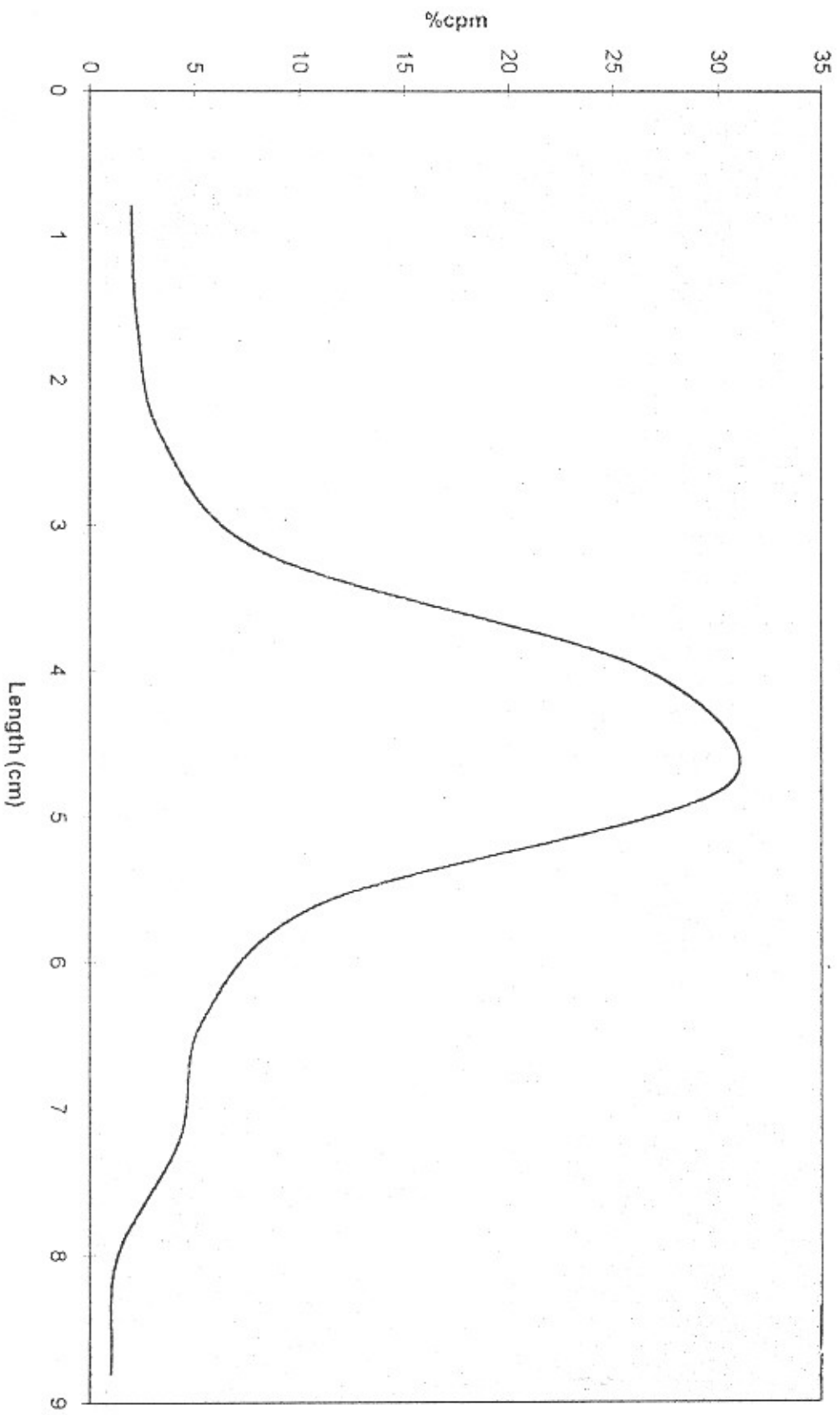
جدول - ۲: RI های مختلف برای کروماتوگرافی روی لایه نازک کریبتوفیکس و FDG در دو محیط حلال متفاوت.

RI FDG	RI کریبتوفیکس	حلال
۰/۸۲	۰/۳۷	متانول / هیدروکسید آمونیم
۰/۵۲	۰/۰۰	اتیل استات / اتانول

جدول - ۳: توزیع اکتیویته (mG) در بخش های مختلف تولید شیمیایی طی تولید در تاریخ های متعدد.

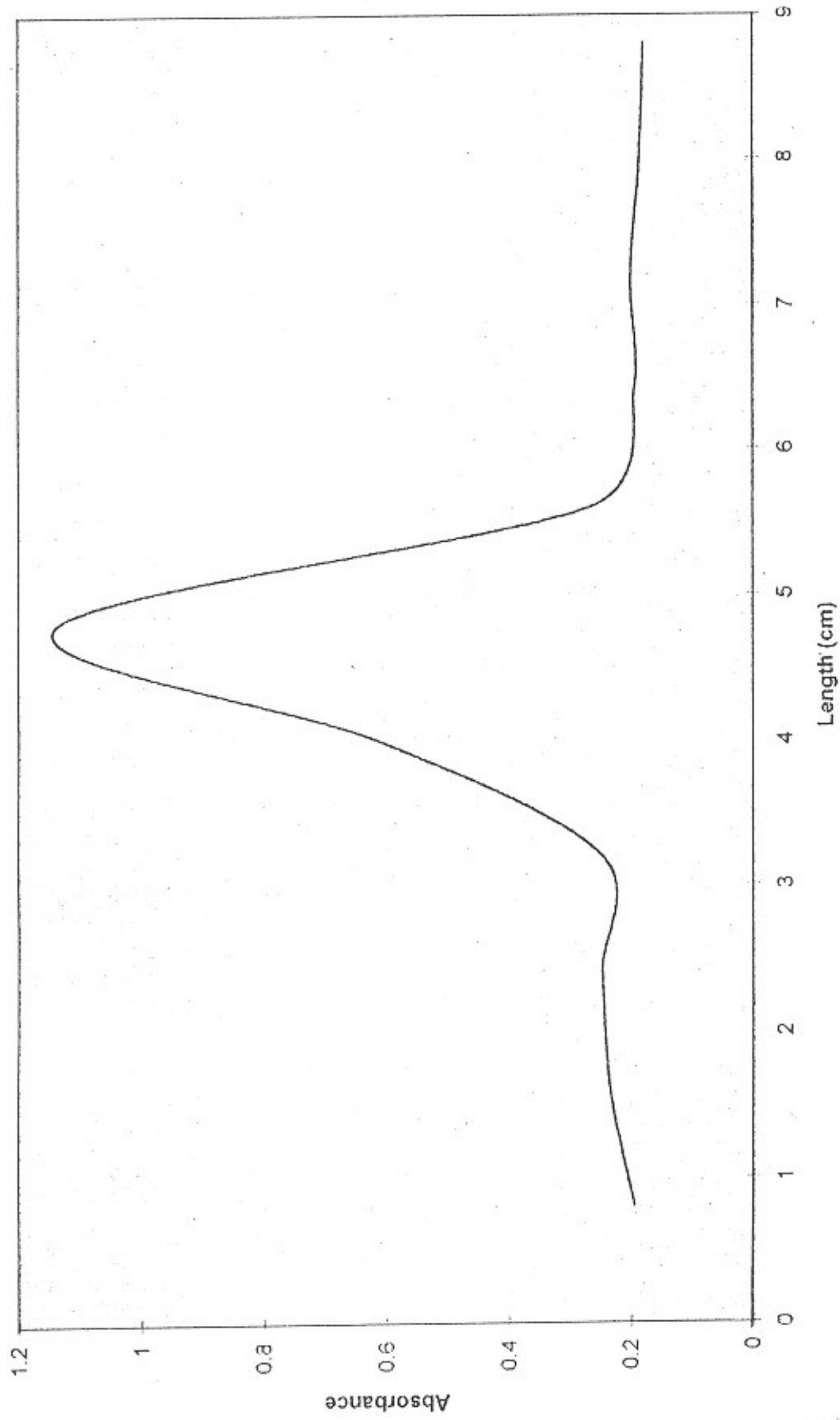
	18FDG	Al <sub>2</sub> O <sub>3</sub>	C18	Resin	SiO <sub>2</sub>	Reactor 1	Reactor 2
21.05.97	56	5	5	7	16	4	7
21.05.97	51	4	4	5	26	2	8
08.09.97	33	3	4	3	41	1	15
09.09.97	28	1	14	30	12	1	14
10.09.97	73	2	2	0	10	2	10
10.09.97	62	2	2	2	18	3	11
11.09.97	68	1	3	1	18	1	7
12.09.97	63	1	3	1	18	2	12

### Radiochromatogram for FDG



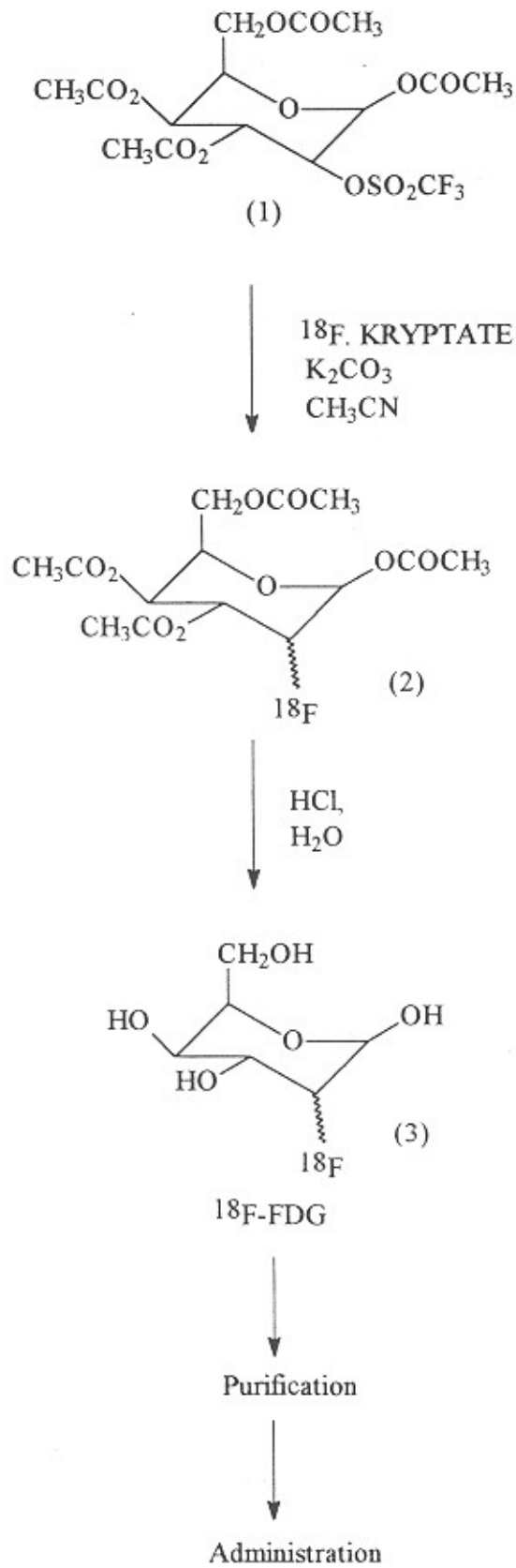
نمودار - ۱ : درصد نسبی شمارش کروماتوگرام نمونه  $^{18}\text{F}$ -2-FDG در واحد طول کروماتوگرام.

# UV Chromatogram

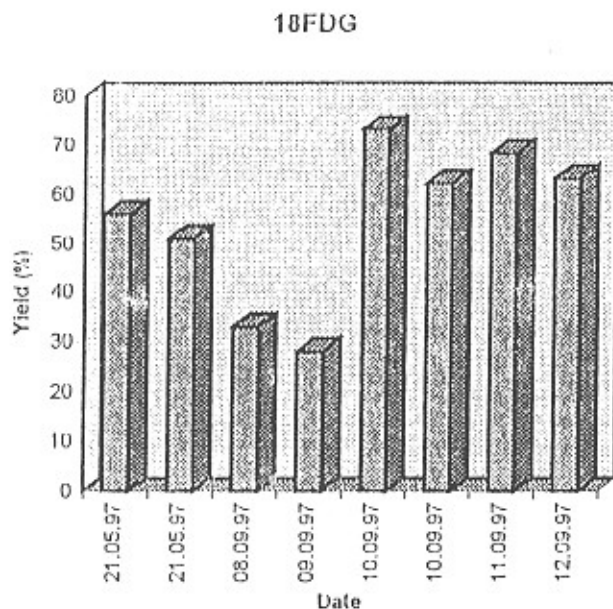


نمودار - ۲ : جذب UV کروماتوگرام در طول موج ۲۵۴nm نمونه  $[^{18}\text{F}]$ -۲-FDG در واحد طول.

Scheme:







نمودار - ۳: بازده رادیو شیمیایی تولید [ $^{18}\text{F}$ ]-2-FDG در چند تولید مختلف.

### منابع

- 1 - Hamacher K,  $^{18}\text{F}$ FDG production via nucleophilic substitution. J. Nucl. Med. 1986; 27:235.
- 2 - Hamacher K, Blessing G, Robatic production of  $^{18}\text{F}$ FDG for hospital use. J. Label. Compds. Radiopharm. 1992; 23:1095.
- 3 - Schlyer D J, Bastus M A, Fluorine-18 anion recovery from aqueous solutions by anion exchange resins; Applied. Radiat. Isot. 1990; 41:531.
- 4 - Tewson T J, Welch M J, Production of fluorine-18 via  $^{18}\text{O}$ -water proton bombardment in synthesis of radiopharmaceuticals; J. Nucl. Med. 1978; 19:1339.
- 5 - Stocklin R, Positron emission tomography (a review); Eur. J. Nucl. Med. 1992; 19:527.
- 6 - Phelps M E, Hoffman E J, Positron detection via multi crystal scintillators. 1995; 16:210.
- 7 - Clarck J C, Silvester D J, Fluorine complexes in synthesis; Int. J. Appl. Radiat. Isot. 1996; 17:151.
- 8 - Helferich B, Zirner J., Synthesis of tetraacetyl mannopyranose. Ber. 1962; 95:2604.
- 9 - Chaly T, Dahl R, Thin layer chromatography detection of kryptofix in the route synthesis of [ $^{18}\text{F}$ ]-2-fluoro-2-deoxy-D-glucose; Nucl. Med. Biol. 1989; 4:385.
- 10 - Spencer D, Gordon J, Gamma spectroscopy of positron emitters. 1992; 43:1313.
- 11 - European Pharmacopoeia Commission Dec. 1996.